

УДК 541.49:541.64

**СОЕДИНЕНИЕ ВКЛЮЧЕНИЯ НА ОСНОВЕ ДИМЕТИЛГЛИОКСИМАТА НИКЕЛЯ(II)  
И КУКУРБИТ[8]УРИЛА: КВАНТОВО-ХИМИЧЕСКИЙ ПРОГНОЗ  
СТРУКТУРЫ И ТЕРМОДИНАМИЧЕСКИХ ПАРАМЕТРОВ ОБРАЗОВАНИЯ**

**Т.Н. Гришаева<sup>1</sup>, А.Н. Маслий<sup>1</sup>, В.В. Баковец<sup>2</sup>, А.М. Кузнецов<sup>1</sup>**

<sup>1</sup>Казанский национальный исследовательский технологический университет, Казань, Россия

<sup>2</sup>Институт неорганической химии им. А.В. Николаева СО РАН, Новосибирск, Россия

E-mail: the\_sky@inbox.ru

Статья поступила 25 ноября 2014 г.

В рамках теории функционала плотности исследована структура соединения включения на основе диметилглиоксимата Ni(II) и макроциклического нанокавитанда кукурубит[8]урила, а также оценены термодинамические параметры его образования. На основе полученных результатов сделан прогноз принципиальной возможности синтеза такого соединения включения.

DOI: 10.15372/JSC20150801

**Ключевые слова:** теория функционала плотности, PCM, функционал PBE, комплекс гость—хозяин, диметилглиоксимат, никель(II), кукурубит[8]урил, супрамолекулярные соединения.

**ВВЕДЕНИЕ**

Одним из важных направлений супрамолекулярной химии является изучение соединений включения типа гость—хозяин, в которых в качестве хозяина выступают макроциклические молекулы (кавитанды). В последние годы для синтеза соединений включения, помимо широко известных кавитандов, как краун-эфиры, каликсарены, циклодекстрины и др., довольно широко используются гомологи семейства кукурубит[*n*]урилов. Кукурубит[*n*]урилы ( $C_{6n}H_{6n}N_{4n}O_{2n}$ , CB[*n*], *n* = 5–10) отличаются числом гликольурильных фрагментов (*n* — число фрагментов), попарно соединенных между собой двумя метиленовыми мостиками. На рис. 1 показана структура кукурубит[8]урила и его основные размеры с учетом ван-дер-ваальсовых радиусов атомов. Порталы кукурубит[*n*]урилов, образованные атомами кислорода карбонильных групп, обладают достаточно высоким отрицательным зарядом, что способствует образованию довольно прочных супрамолекулярных связей с гостевой молекулой. Помимо этого кукурубит[*n*]урилы обладают уникальной совокупностью свойств: жесткая высокосимметричная структура, гидрофобная полость достаточно крупных размеров, высокая термическая и химическая устойчивость. Наибольший интерес для практических целей представляет кукурубит[8]урил.

В 2001 г. исследовательской группой Кима впервые были получены соединения включения на основе комплексов Cu(II) и кукурубит[8]урила [1]. С того времени произошел резкий скачок количества работ по синтезу соединений включения на основе кукурубит[*n*]урилов и различных комплексов переходных металлов [2–13]. Интерес к подобному роду соединений связан с рядом их полезных свойств. В частности, при включении в CB[*n*] комплексов платины, палладия и золота, обладающих противораковым действием, значительно уменьшается токсичность этих

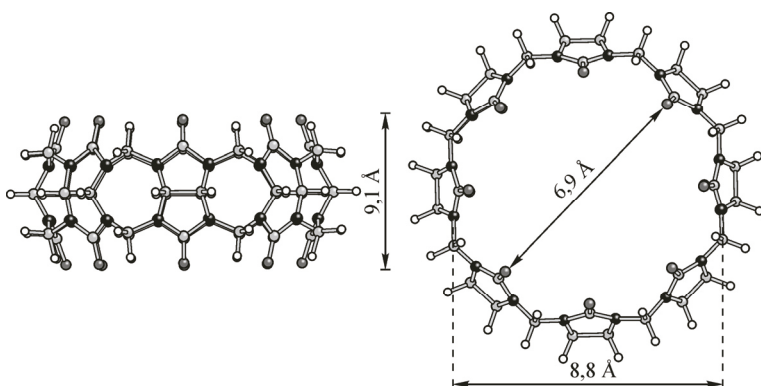


Рис. 1. Пространственная структура макроциклического кавитанда CB[8] (вид сбоку и вид сверху) и его основные размеры

препаратов для человеческого организма [ 3, 5, 6 ]. Использование макроциклов в качестве контейнера позволило запатентовать новые эффективные лекарственные препараты, ранее запрещенные к применению из-за их высокой токсичности [ 14, 15 ]. В работах [ 2—13 ] отмечается, что у включенных в полость CB[*n*] металлокомплексов наблюдается изменение не только геометрии, но и термической стабильности, магнитных, электрохимических и фотохимических свойств, реакционной способности. Соединения типа гость—хозяин на основе кукурубит[*n*]урилов и металлокомплексов перспективны для улавливания короткоживущих интермедиатов реакций, стабилизации неустойчивых степеней окисления металлов в комплексах, селективного молекулярного разделения смесей изомеров, растворения комплексов металла в реакционной массе. Все это с успехом может быть применено в биохимии, фармацевтике и катализе.

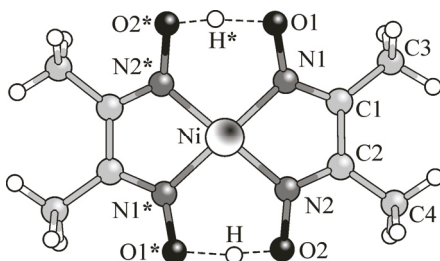
Данная работа посвящена квантово-химическому прогнозу возможности образования супрамолекулярной системы, формируемой в результате включения диметилглиоксимата никеля(II) ( $[\text{Ni}(\text{dmg})_2]$ ) в полость макроциклического нанокавитанда кукурубит[8]урила (CB[8]). Это соединение включения представляет интерес для создания каталитически активных систем металлокомплексов и металлокластеров на носителе CB[8] по типу известных систем на оксидных носителях  $\text{SiO}_2$  и  $\text{Al}_2\text{O}_3$  [ 16 ]. После успешного синтеза наночастиц меди [ 17 ], а также {никель/углерод} [ 18 ] возможность отжига комплексов никеля в полости CB[8] представляется одним из наиболее вероятных способов получения металлических нанопроволок в каналах сотовых структур CB[8]. Так, в работе [ 19 ] было исследовано восстановление водородом ацетилацетонатного комплекса Cu(II), сорбированного кукурубит[8]урилом. Однако подобным исследованиям предшествует синтез самого соединения включения, который зачастую является довольно трудоемким и ресурсоемким процессом. В связи с этим экспериментаторы возлагают большие надежды на методы квантовой химии, которые хорошо зарекомендовали себя в качестве мощного инструмента для прогнозирования возможной структуры и свойств новых соединений. С помощью квантово-химического моделирования представляется возможным исследовать механизмы фиксации комплекса внутри кавитанда, изменение его состава, например, изменение координационного числа, а также принципиальную термодинамическую возможность формирования соединения включения. Все это, безусловно, представляет значительный интерес не только с точки зрения теории комплексообразования, но и возможности получить представление о строении гипотетического соединения включения еще до попытки его синтеза. Примеры квантово-химического моделирования некоторых процессов с участием кукурубит[*n*]урилов можно найти в наших ранних публикациях [ 20—25 ].

## МЕТОДЫ ИССЛЕДОВАНИЯ

Квантово-химические расчеты проводились с помощью высокоэффективного программного пакета PRIRODA [ 26 ] на уровне теории функционала плотности с функционалом PBE [ 27 ]. Для всех атомов использовали полный трехкратно расщепленный (triple-zeta) атомный базисный набор TZ [ 28 ], специально оптимизированный для данного функционала. Этот базис включает в себя поляризационные атомные орбитали, содержащие диффузные компоненты гауссовых

Рис. 2. Оптимизированная на уровне PBE/3Z структура комплекса  $[\text{Ni}(\text{dmg})_2]$ .

Геометрические параметры приведены в табл. 1



функций. Системы с открытой электронной оболочкой рассчитывали в рамках неограниченной версии метода PBE. Полную газофазную оптимизацию всех систем проводили без каких-либо ограничений по симметрии. После оптимизации геометрии проводили расчет частот нормальных колебаний макромолекулы. Отсутствие мнимых значений частот в колебательном спектре свидетельствовало о том, что оптимизированные структуры соответствуют минимумам на многомерной поверхности потенциальной энергии. На основе проведенного термохимического анализа были получены полные энтропии систем, а также термальные поправки к энергии, с помощью которых рассчитывали полные энталпии и свободные энергии Гиббса.

Поскольку программный пакет PRIRODA не предусматривает возможность проведения квантово-химических расчетов с учетом влияния растворителя, нами использовался следующий подход к решению этой проблемы. При фиксированной геометрии участвующих в реакции частиц, предварительно оптимизированных с помощью программы PRIRODA, проводили расчет свободной энергии их гидратации с помощью программного пакета GAUSSIAN 03 [29] в рамках модели поляризуемого континуума PCM (Polarizable Continuum Model [30—32]) со статической диэлектрической проницаемостью  $\epsilon = 78,4$  для водного раствора. Эти расчеты проводили на уровне теории функционала плотности в версии B3LYP [33, 34] с использованием стандартного валентно-расщепленного базисного набора атомных орбиталей 6-31G(*d,p*).

## ОСНОВНЫЕ РЕЗУЛЬТАТЫ И ИХ ОБСУЖДЕНИЕ

### Исследование структуры соединения включения комплекса $[\text{Ni}(\text{dmg})_2]$ в полость СВ[8].

На рис. 2 показана структура комплекса диметилглиоксимата никеля(II)  $[\text{Ni}(\text{dmg})_2]$ , полученная в результате газофазной оптимизации геометрии, а в табл. 1 приведены его основные геометрические характеристики в сопоставлении с экспериментальными данными PCA [35]. Комплекс

Таблица 1

*Рассчитанные на уровне PBE/3Z геометрические параметры комплекса  $[\text{Ni}(\text{dmg})_2]$  в газовой фазе в сопоставлении с экспериментальными данными PCA [35]*

Параметр*	Расчет	Эксп.	Параметр*	Расчет	Эксп.	Параметр*	Расчет	Эксп.
Длина связи, Å								
$R(\text{Ni}—\text{N1})$	1,89	1,90	$R(\text{N2}—\text{C2})$	1,31	1,25	$R(\text{O1}—\text{O2}^*)$	2,46	2,44
$R(\text{Ni}—\text{N2})$	1,87	1,87	$R(\text{C1}—\text{C2})$	1,46	1,53	$R(\text{O1}^*—\text{O2})$	2,46	2,44
$R(\text{N1}—\text{O1})$	1,31	1,38	$R(\text{C1}—\text{C3})$	1,49	1,46	$R(\text{O1}—\text{H}^*)$	1,36	—
$R(\text{N2}—\text{O2})$	1,35	1,37	$R(\text{C2}—\text{C4})$	1,49	1,51	$R(\text{O2}^*—\text{H}^*)$	1,11	—
$R(\text{N1}—\text{C1})$	1,32	1,20						
Валентный угол, град.								
$\angle \text{N1}—\text{Ni}—\text{N2}$	82,5	80	$\angle \text{N2}—\text{C2}—\text{C1}$	112,8	113	$\angle \text{N1}—\text{O1}—\text{O2}^*$	98,7	102
$\angle \text{N2}—\text{Ni}—\text{N1}^*$	97,3	100	$\angle \text{C1}—\text{C2}—\text{C4}$	126,2	121	$\angle \text{N2}—\text{O2}—\text{O1}^*$	96,7	98
$\angle \text{Ni}—\text{N1}—\text{C1}$	115,6	121	$\angle \text{C2}—\text{C1}—\text{C3}$	126,7	124	$\angle \text{N1}—\text{O1}—\text{H}^*$	103,1	—
$\angle \text{Ni}—\text{N2}—\text{C2}$	116,4	117	$\angle \text{Ni}—\text{N1}—\text{O1}$	123,3	118	$\angle \text{N2}—\text{O2}—\text{H}$	102,1	—
$\angle \text{N1}—\text{C1}—\text{C2}$	112,7	109	$\angle \text{Ni}—\text{N2}—\text{O2}$	124,1	122			

\* Обозначения параметров соответствуют обозначению атомов на рис. 2.

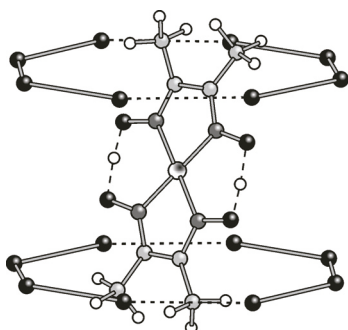


Рис. 3. Оптимизированная на уровне PBE/3Z структура соединения

включения  $[\text{Ni}(\text{dmg})_2]@\text{CB}[8]$ .

В CB[8] для упрощения показаны только 16 портальных атомов кислорода. Основные геометрические параметры приведены в табл. 2

содержит два пятичленных хелатных цикла и стабилизирован еще двумя шестичленными циклами, которые образованы за счет внутримолекулярных водородных связей между двумя координированными диметилглиоксимат-ионами. Сопоставление расчетных газофазных геометрических параметров с экспериментальными, полученными для кристалла, строго говоря, следует считать

условным, учитывая возможное влияние электростатического потенциала кристаллического окружения комплекса на его геометрические параметры. Тем не менее, как видно из табл. 1, в целом наблюдается разумное согласие теоретических и экспериментальных значений. Наиболее близки к эксперименту длины связи между центральным атомом Ni и донорными атомами N двух идентичных по геометрическим параметрам диметилглиоксимат-лигандов.

Длины  $R(\text{O}1\ldots\text{O}2^*)$  и  $R(\text{O}2\ldots\text{O}1^*)$  двух симметрично расположенных внутримолекулярных водородных связей в комплексе составляют 2,46 Å, что очень близко к экспериментальному значению 2,44 Å. Расстояния атомов водорода, образующих водородные связи, до атомов кислорода неодинаковы и равны 1,36 и 1,1 Å, причем последнее заметно больше длины обычной ковалентной OH-связи (например, 0,957 Å в молекуле  $\text{H}_2\text{O}$ ). Поэтому на рис. 2 обе связи этих атомов H показаны точечной линией, как это принято для изображения водородных связей.

На следующем этапе нами была рассчитана структура аддукта, получаемого в результате включения комплекса  $[\text{Ni}(\text{dmg})_2]$  в полость кавитанда CB[8]. В качестве стартовых было выбрано несколько ориентаций комплекса внутри полости (как симметричные относительно главной оси симметрии макроциклической молекулы, так и несимметричные). В частности, рассматривались структуры, в которых комплекс никеля ориентирован вдоль главной оси симметрии и под некоторым углом к ней. Также рассматривали вариант, в котором диметилглиоксимат Ni(II) целиком располагался в полости CB[8] параллельно плоскостям его порталов. В результате оптимизации геометрии стартовых структур оказалось, что энергетически наиболее вероятно расположение комплекса  $[\text{Ni}(\text{dmg})_2]$  в полости CB[8] под углом  $\sim 80^\circ$  к главной оси симметрии макроцикла (рис. 3). Основные геометрические параметры соединения включения  $[\text{Ni}(\text{dmg})_2]@\text{CB}[8]$  представлены в табл. 2 в сравнении с таковыми для изолированного комплекса и более сложного соединения включения, о котором будет сказано ниже. Видно, что ос-

## Таблица 2

*Основные геометрические характеристики комплекса  $[\text{Ni}(\text{dmg})_2]$  и соединений включения  $[\text{Ni}(\text{dmg})_2]@\text{CB}[8]$  и  $\{\text{Ni}(\text{dmg})_2\}\cdot(\text{H}_2\text{O})_6\}@\text{CB}[8]$ , рассчитанные на уровне PBE/3Z ( $R$ , Å,  $\angle$ , град.)*

Соединение	$R(\text{Ni}-\text{N}1)$	$R(\text{Ni}-\text{N}2)$	$R(\text{Ni}-\text{N}1^*)$	$R(\text{Ni}-\text{N}2^*)$	$R(\text{O}1-\text{O}2^*)$	$R(\text{O}-\text{H}^*)$	$R(\text{O}2-\text{H})$	$\angle \text{N}1-\text{Ni}-\text{N}2$	$\angle \text{N}2-\text{Ni}-\text{N}1^*$	$A_{\max}/B_{\max}$
$[\text{Ni}(\text{dmg})_2]$	1,89	1,87	1,89	1,87	2,46	1,36	1,11	82,5	97,3	—
$[\text{Ni}(\text{dmg})_2]@\text{CB}[8]$	1,89	1,88	1,89	1,88	2,44	1,30	1,14	82,6	97,4	0,15/0,18
$\{\text{Ni}(\text{dmg})_2\}\cdot(\text{H}_2\text{O})_6\}@\text{CB}[8]$	1,89	1,89	1,89	1,89	2,45	1,33	1,12	82,0	97,1	0,50/0,65

\* Обозначения параметров соответствуют обозначению атомов на рис. 2.

новные геометрические параметры комплекса при включении его в полость макроцикла изменяются незначительно. Фиксация комплекса в полости кавитанда осуществляется за счет электростатического взаимодействия всех двенадцати атомов Н четырех метильных групп двух диметилглиоксиматов с портальными атомами О кавитанда, несущими отрицательные эффективные заряды.

Следует отметить, что при включении диметилглиоксимата никеля в полость CB[8] сама молекула CB[8] подвергается деформации. По результатам наших расчетов макромолекула CB[8], имеющая в исходном состоянии круглое сечение (центры портальных атомов кислорода лежат на окружности), под влиянием включенного комплекса приобретает овальную форму. Проведенный анализ геометрической структуры показал, что максимальное растяжение окружности макроцикла ( $A_{\max}$ ) составляет приблизительно 0,15 Å, а максимальное сжатие ( $B_{\max}$ ) — около 0,18 Å (см. табл. 2). За степень искажения принимали разницу расстояний между противоположными атомами углерода CH-групп CB[8] для макроцикла с гостевой молекулой и без нее. Подобная деформация обычно характерна для соединений включения кукурубит[*n*]урилов при сопоставимых ван-дер-ваальсовых размерах гостя и полости хозяина [36].

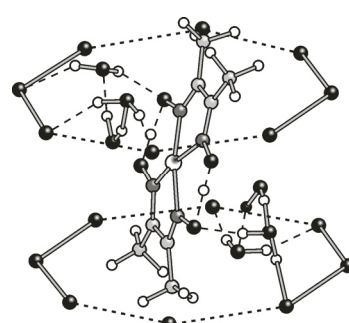
Далее моделировали системы, в которых помимо металлокомплекса в полости макроцикла находится некоторое количество молекул воды. Учитывая тот факт, что молекулы воды, образующиеся в процессе синтеза кукурубит[*n*]урилов, остаются в полости кавитанда, в том числе и после его кристаллизации [37, 38], любой процесс включения гостевых молекул в полость макроциклов необходимо рассматривать как конкурентный процесс частичного или полного замещения молекул воды, находящихся внутри полости CB[*n*]. Энергетический эффект процесса включения зависит от относительной энергии взаимодействия гостевой молекулы и вытесняемых молекул воды с внутренней поверхностью полости кавитанда. Кроме того, присутствие молекул воды в области порталов макроцикла, установленное по данным рентгеноструктурного анализа соединений включения на основе металлокомплекса и кукурубит[*n*]урилов [1, 2], может свидетельствовать и о значительной роли молекул воды в процессе закрепления металлокомплексов внутри макроцикла. На основании вышеизложенного в расчетную схему рассмотренной системы  $[\text{Ni}(\text{dmg})_2]@\text{CB}[8]$  были включены несколько молекул воды. Оказалось, что максимальное количество молекул  $\text{H}_2\text{O}$ , которые могут быть размещены в полости CB[8] совместно с комплексом  $[\text{Ni}(\text{dmg})_2]$ , равно шести. Молекулы воды образуют сетку водородных связей и являются посредниками в образовании связей между включенным комплексом и макроциклом. Оптимизированная система состава  $\{[\text{Ni}(\text{dmg})_2] \cdot (\text{H}_2\text{O})_6\}@\text{CB}[8]$  показана на рис. 4, а ее основные геометрические характеристики приведены в табл. 2.

Из рис. 4 видно, что на каждом из двух порталов CB[8] располагается по три молекулы воды, причем их ориентация в пространстве одинакова на обоих портах. Три молекулы воды объединены между собой посредством водородных связей, образующих тример  $(\text{H}_2\text{O})_3$ . Одна из молекул воды этого тримера одновременно образует водородные связи с карбоксильным атомом кислорода макроцикла и группой N—O металлокомплекса, в то время как другая молекула воды образует две водородные связи с карбоксильными атомами кислорода кукурубит[8]урила. Эти две молекулы между собой связаны посредством водородных связей с третьей, центральной, молекулой воды в тримере  $(\text{H}_2\text{O})_3$ .

Анализ рис. 3 и 4 и данных в табл. 2 показывает, что положение комплекса диметилглиоксимата никеля в полости CB[8] и его основные геометрические характеристики в присутствии молекул воды изменяются несущественно. Однако стоит обратить внимание на тот факт, что в структуре, показанной на рис. 4, атом Ni уже не

Рис. 4. Оптимизированная на уровне PBE/3Z структура соединения включения  $\{[\text{Ni}(\text{dmg})_2] \cdot (\text{H}_2\text{O})_6\}@\text{CB}[8]$ .

В CB[8] для упрощения показаны только 16 портальных атомов кислорода. Основные геометрические параметры приведены в табл. 2



лежит в одной плоскости с четырьмя атомами N: двугранный угол  $\angle N1—N2—N1^*—Ni$  составляет  $8,5^\circ$  (см. обозначения атомов на рис. 2). Столь незначительное искажение обусловлено асимметричным расположением молекул воды в области обоих порталов кавитанда относительно центрального иона никеля.

В отличие от диметилглиоксимата никеля, геометрия CB[8] изменяется более существенно. При закреплении  $[Ni(dmg)_2]$  шестью молекулами  $H_2O$  (см. рис. 3) деформация кукурубит[8]урила становится более значительной (см. табл. 2), максимальное растяжение ( $A_{max}$ )  $\sim 0,5 \text{ \AA}$ , а максимальное сжатие ( $B_{max}$ )  $\sim 0,65 \text{ \AA}$ .

Оптимизированные структуры комплекса  $[Ni(dmg)_2]$  и соединения включения  $\{[Ni(dmg)_2] \cdot (H_2O)_6\} @ CB[8]$  используют в следующем разделе для оценки термодинамических параметров образования этого соединения в водном растворе.

**Расчет термодинамических параметров формирования соединения включения комплекса  $[Ni(dmg)_2]$  в полость CB[8].** Вполне очевидно, что процесс образования соединения включения  $\{[Ni(dmg)_2] \cdot (H_2O)_6\} @ CB[8]$  сопровождается полным или частичным вытеснением молекул воды, которые присутствуют в полости кавитанда CB[8] при его синтезе в водном растворе.

Ранее нами было исследовано структурирование воды в гомологах семейства CB[n] [22, 23]. Так, в работе [22] подобная задача была решена для кавитанда CB[6], который образуется в наибольшем количестве при синтезе кукурубит[n]урилов. Методом последовательного включения молекул воды с помощью квантово-химических расчетов было установлено, что внутри этого кавитанда молекулы воды присутствуют в виде водно-молекулярного кластера  $(H_2O)_6$ , образованного за счет водородных связей. Попытки включения последующих молекул  $H_2O$  приводили к тому, что они не входили в полость CB[6], а ориентировались на портальные атомах кислорода во внешней области кавитанда.

В данной работе для установления максимального числа молекул в полости CB[8] нами был использован тот же алгоритм, что и в работах [22, 23]. Не останавливаясь на деталях расчетов, отметим, что максимальное число молекул воды в полости CB[8] оказывается равным 10. Эти молекулы образуют водный кластер  $(H_2O)_{10}$ , который напоминает своей формой правильную пятиугольную призму, в вершинах которой располагаются молекулы воды (рис. 5). Кластер фиксируется в полости CB[8] с помощью водородных связей, образованных между молекулами воды верхнего и нижнего пятичленных циклов с портальными атомами кислорода CB[8].

Таким образом, основываясь на этих данных и результатах, описанных в предыдущем разделе, формирование соединения включения  $\{[Ni(dmg)_2] \cdot (H_2O)_6\} @ CB[8]_{(aq)}$  в водном растворе можно описать следующим уравнением:



Как видно, этот процесс сопровождается вытеснением четырех молекул воды из полости CB[8] и их выходом в объем раствора.

Свободную энергию Гиббса этой реакции можно рассчитать из соотношения

$$\Delta G_{(aq)}^0 = \sum G_{(aq)}^0(\text{prod}) - \sum G_{(aq)}^0(\text{react}) + nRT \ln([H_2O]). \quad (2)$$

Здесь первые две суммы представляют собой суммарные полные свободные энергии Гиббса продуктов и исходных реагентов реакции (1), которые получаются из квантово-химической процедуры термохимического анализа

при температуре 298,15 К и давлении 1 атм. Третье слагаемое в выражении (2) обусловлено тем, что при расчете  $\Delta G^0$  реакции в растворе концентрации всех реагентов и продуктов при стандартных условиях должны составлять 1 моль/л, в то время как

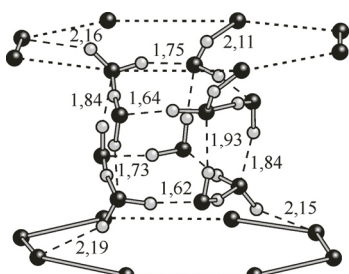


Рис. 5. Оптимизированная на уровне PBE/3Z структура соединения включения  $(H_2O)_{10}@CB[8]$

концентрация воды в жидкой воде  $[H_2O]$  при стандартной температуре и давлении равна 55,34 моль/л [39]. Коэффициент  $n$  — число молей  $H_2O$  в правой части уравнения (1). В нашем случае  $n$  равно четырем, а соответствующая поправка составляет 9,50 ккал/моль.

Полную свободную энергию Гиббса частицы A в водном растворе можно представить как

$$G^0(A_{(aq)}) = G^0(A_{(gas)}) + \Delta_{hyd}G^0(A) + \Delta G^{0 \rightarrow *}. \quad (3)$$

Такой прием ранее использовался, например, в работе [40]. В выражении (3) первое слагаемое — энергия частицы в газовой фазе, второе слагаемое представляет собой стандартную свободную энергию гидратации частицы, а поправка  $\Delta G^{0 \rightarrow *}$  связана с различием стандартных состояний в газовой фазе и в растворе. В газовой фазе в качестве стандартного состояния идеального газа принято давление 1 атм. (24,46 л/моль), а в растворе стандартной является концентрация 1 М (1 моль/л). Таким образом, изменение свободной энергии Гиббса одного моля идеального газа (24,46 л/моль) при переходе в 1 М раствор (1 моль/л) можно рассчитать по следующей формуле (см., например, [41, 42]):

$$\Delta G^{0 \rightarrow *} = -T\Delta S^{0 \rightarrow *} = RT\ln(V_0/V^*) = RT\ln(24,46) = 1,89 \text{ ккал/моль} \quad (T = 298,15 \text{ К}). \quad (4)$$

По аналогии с (2), учитывая, что  $\Delta S^{0 \rightarrow *} = -\Delta G^{0 \rightarrow *} / T$ , можно записать выражение для энтропии реакции в растворе:

$$\Delta S_{(aq)}^0 = \sum S_{(aq)}^0(\text{prod}) - \sum S_{(aq)}^0(\text{react}) - nR\ln([H_2O]), \quad (5)$$

а энталпия реакции  $\Delta H^0$  связана с  $\Delta G^0$  и  $\Delta S^0$  формулой Гиббса—Гельмгольца:  $\Delta G^0 = \Delta H^0 - T\Delta S^0$ .

Свободная энергия гидратации  $\Delta_{hyd}G^0$  исходных реагентов и продуктов реакции (1), как уже отмечалось в методическом разделе, рассчитывались нами в модели PCM на уровне метода B3LYP в атомном базисе 6-31G(*d,p*) при фиксированной геометрии частиц, полученной в результате оптимизации методом PBE с помощью программного пакета PRIRODA. Следует отметить, что рассчитанное значение энергии гидратации отдельной молекулы воды в воде (-6,04 ккал/моль) хорошо согласуется с известным экспериментальным значением -6,3 ккал/моль [43].

В связи с тем, что в континуальном приближении, каковым является используемая нами модель PCM, растворитель рассматривается бесструктурно, энтропии частицы в газовой фазе и в растворе практически неразличимы. Поэтому при расчете  $\Delta S^0$  по соотношению (5) вместо  $S_{(aq)}^0$  нами использовались газофазные энтропии частиц  $S_{(g)}^0$ .

С учетом приведенных выше соотношений, а также данных в табл. 3 для реакции (1) получаются следующие стандартные термодинамические параметры:

$$\Delta G^0 = -1,16 \text{ ккал/моль}, \Delta H^0 = 17,32 \text{ ккал/моль}, \Delta S^0 = 62 \text{ кал/К} \cdot \text{моль}. \quad (6)$$

Как видно из этих результатов, образование супрамолекулы  $\{[Ni(dmg)_2] \cdot (H_2O)_6\} @ CB[8]$  сопровождается положительным значением изменения энтропии. Это обусловлено деструктурированием водно-молекулярного кластера  $(H_2O)_{10}$  в полости кавитанда и выходом четырех молекул в объем раствора, что приводит к возрастанию степени беспорядка в системе. Положительное значение  $\Delta H^0$  свидетельствуют об эндотермическом характере реакции (1), а неболь-

### Таблица 3

*Газофазные полные свободные энергии Гиббса, энергии гидратации и газофазные энтропии частиц, входящих в уравнение (1), полученные из расчета методом функционала плотности (см. текст)*

Соединение	$G_{(g)}^0$ , Хартри	$\Delta_{hyd}G^0$ , ккал/моль	$S_{(g)}^0$ , кал/К · моль
$[Ni(dmg)_2]$	-2340,492197	+1,01	136,8
$(H_2O)_{10} @ CB[8]$	-5573,286916	-74,07	475,8
$\{[Ni(dmg)_2] \cdot (H_2O)_6\} @ CB[8]$	-7608,230292	-85,70	520,5
$H_2O$	-76,375263	-6,04	46,5

шое отрицательное значение  $\Delta G^0$  в совокупности с положительной величиной энтропии реакции  $\Delta S^0$  — об обратном характере реакции. Иными словами, с ростом температуры возрастает по абсолютной величине отрицательное значение  $\Delta G^0$  ( $\Delta G^0 = \Delta H^0 - T\Delta S^0$ ), что приводит к повышению термодинамической вероятности самопроизвольного протекания реакции (1). И наоборот, с понижением температуры значение  $\Delta G^0$  при  $T < \Delta H^0 / \Delta S^0$  приобретает положительное значение, что способствует самопроизвольному протеканию обратной реакции. Полученные нами результаты можно рассматривать как квантово-химический прогноз возможности синтеза соединения включения состава  $\{[\text{Ni}(\text{dmg})_2] \cdot (\text{H}_2\text{O})_6\}@\text{CB}[8]$  при температуре 25 °C и выше. Эти количественные результаты позволяют сделать только качественные выводы о термодинамической возможности протекания рассматриваемой реакции. Тем не менее, можно полагать, что использованные нами подходы могут быть успешно применены для прогнозирования и других реакций с образованием соединений включения, актуальных для супрамолекулярной химии.

### ЗАКЛЮЧЕНИЕ

В результате проведенного квантово-химического исследования супрамолекулярной системы включения диметилглиоксимат Ni(II)/макроциклический кавитанд CB[8] показано, что фиксация комплекса  $[\text{Ni}(\text{dmg})_2]$  в полости CB[8] осуществляется с помощью шести молекул  $\text{H}_2\text{O}$ , остающихся в полости после включения в нее комплекса. Эти молекулы (три на верхнем и три на нижнем кислородных порталах) образуют два линейных тримера  $(\text{H}_2\text{O})_3$ , каждый из которых связан водородными связями как с комплексом, так и с кислородными атомами порталов, несущими существенный отрицательный заряд. Помимо этих взаимодействий дополнительный вклад в связывание вносит электростатическое взаимодействие между положительными зарядами на атомах Н метильных групп диметилглиоксимата и отрицательными зарядами портальными атомов О.

Проведенный термодинамический анализ включения диметилглиоксимата Ni(II) в CB[8] с учетом влияния диэлектрической среды (водный раствор) показал, что этот процесс имеет эндотермический характер с небольшим отрицательным значением свободной энергии Гиббса реакции. Положительное значение энтропии реакции позволяет сделать вывод о том, что повышение температуры должно способствовать увеличению термодинамической вероятности рассматриваемой реакции. Таким образом, проведенные расчеты *a priori* предсказывают принципиальную возможность синтеза соединения включения на основе диметилглиоксимата Ni(II) и кавитанда CB[8].

### СПИСОК ЛИТЕРАТУРЫ

1. Kim S.-Y., Jung I-S., Lee E. et al. // Angew. Chem. Int. Ed. – 2001. – **40**, N 11. – P. 2119.
2. Митькина Т.В., Наумов Д.Ю., Герасько О.А. и др. // Изв. АН. Сер. хим. – 2004. – **11**. – С. 2414.
3. Wheate N.J., Day A.I., Blanch R.J. et al. // Chem. Commun. – 2004. – P. 1424.
4. Mitkina T.V., Sokolov M.N., Naumov D.Y. et al. // Inorg. Chem. – 2006. – **45**, N 17. – P. 6950.
5. Bali M.S., Buck D.P., Coe A.J. et al. // J. Chem. Soc., Dalton Trans. – 2006. – P. 5337.
6. Wheate N.J., Buck D.P., Day A.I. et al. // J. Chem. Soc., Dalton Trans. – 2006. – P. 451.
7. Трипольская А.А., Майничева Е.А., Герасько О.А. и др. // Журн. структур. химии. – 2007. – **48**, № 3. – С. 588.
8. Трипольская А.А., Герасько О.А., Наумов Д.Ю. и др. // Журн. структур. химии. – 2007. – **48**, № 5. – С. 1006.
9. Mitkina T.V., Zakharchuk N.F., Naumov D.Y. et al. // Inorg. Chem. – 2008. – **47**, N 15. – P. 6748.
10. Hart S.L., Haines R.I., Decken A. et al. // Inorg. Chim. Acta. – 2009. – **362**. – P. 4145.
11. Коваленко Е.А., Митькина Т.В., Герасько О.А. и др. // Изв. АН. Сер. хим. – 2010. – **11**. – С. 2019.
12. Коваленко Е.А., Митькина Т.В., Герасько О.А. и др. // Координат. химия. – 2011. – **37**, № 2. – С. 1.
13. Надолинный В.А., Берёзин А.С., Баковец В.В. и др. // Журн. структур. химии. – 2013. – **54**, Прилож. 1. – С. S94.
14. Kim K., Jeon Y.J., Kim S.-Y. et al. Postech Foundation, S. Korea, PCT Int. Appl. – 2002. – **42**.
15. Wheate N.J., Day A.I., Blanch R.J. et al. UNISEARCH Limited, Australia, PCT Int. Appl. – 2005. – **63**.
16. Харти Ф. Закрепленные металлокомплексы: новое поколение катализаторов. – М.: Мир, 1989.
17. Rostovshchikova T.N., Smirnov V.V., Kozhevnik V.M. et al. // Appl. Catal., A: General. – 2005. – **296**. – P. 70.

18. Sunny V., Kumar D.S., Yoshida Y. et al. // Carbon. – 2010. – **48**, N 5. – P. 1643.
19. Баковец В.В., Надолинный В.А., Эренбург С.Б., Кузнецов А.М., Долговесова И.П. // Журн. неорган. химии. – 2010. – **55**, № 12. – С. 2011.
20. Маслий А.Н., Гришаева Т.Н., Кузнецов А.М., Баковец В.В. // Журн. структур. химии. – 2007. – **48**, № 3. – С. 593.
21. Bakovets V.V., Masliy A.N., Kuznetsov A.M. // J. Phys. Chem. B. – 2008. – **112**, N 38. – P. 12010.
22. Маслий А.Н., Гришаева Т.Н., Кузнецов А.М., Баковец В.В. // Журн. структур. химии. – 2009. – **50**, № 3. – С. 413.
23. Гришаева Т.Н., Маслий А.Н., Баковец В.В., Кузнецов А.М. // Вестн. Казан. технол. ун-та. – 2010. – № 12. – С. 394.
24. Гришаева Т.Н., Маслий А.Н., Баковец В.В., Кузнецов А.М. // Вестник Казан. технол. ун-та. – 2011. – № 6. – С. 7.
25. Гришаева Т.Н., Маслий А.Н., Баковец В.В., Кузнецов А.М. // Журн. неорган. химии. – 2010. – **55**, № 10. – С. 1689.
26. Laikov D.N. // Chem. Phys. Lett. – 1997. – **281**, N 1-3. – P. 151.
27. Perdew J.P., Burke K., Ernzerhof M. // Phys. Rev. Lett. – 1996. – **77**. – P. 3865.
28. Laikov D.N. // Chem. Phys. Lett. – 2005. – **416**, N 1-3. – P. 116.
29. Gaussian 03, Revision C.01, Frisch M.J., Trucks G.W., Schlegel H.B. et al. Gaussian, Inc., Wallingford CT, 2004.
30. Cancès M.T., Mennucci B., Tomasi J. // J. Chem. Phys. – 1997. – **107**. – P. 3032.
31. Cossi M., Barone V., Mennucci B., Tomasi J. // Chem. Phys. Lett. – 1998. – **286**. – P. 253.
32. Mennucci B., Tomasi J. // J. Chem. Phys. – 1997. – **106**. – P. 5151.
33. Becke A.D. // J. Chem. Phys. – 1993. – **98**. – P. 5648.
34. Lee C., Yang W., Parr R.G. // Phys. Rev. B. – 1988. – **37**. – P. 785.
35. Codycki L.E., Rundle R.E. // Acta Crystallogr. – 1953. – **6**. – P. 487.
36. Самсоненко Д.Г., Вироевец А.В., Липовски Я. и др. // Журн. структур. химии. – 2002. – **43**, № 4. – С. 715.
37. Day A., Arnold A.P., Blanch R.J. et. al. // J. Org. Chem. – 2001. – **66**. – P. 8094.
38. Lagona J., Mukhopadhyay P., Chakrabarti S. et al. // Angew. Chem. Int. Ed. – 2005. – **44**. – P. 4844.
39. Эйзенберг Д., Кацман В. Структура и свойства воды. – Л.: Гидрометеоиздат, 1975.
40. Liptak M.D., Shields G.C. // Int. J. Quant. Chem. – 2001. – **85**. – P. 727.
41. Kelly C.P., Cramer C.J., Truhlar D.G. // J. Chem. Theory Comput. – 2005. – **1**. – P. 1133.
42. Kelly C.P., Cramer C.J., Truhlar D.G. // J. Phys. Chem. B. – 2006. – **110**. – P. 16066.
43. Cabani S., Gianni P., Mollica V. et al. // J. Solut. Chem. – 1981. – **10**. – P. 563.